



เอกสารอ้างอิง

1. ขยากrit ศิริอุปถัมภ์, วีระชัย นฤบดินทร์ เทวฤกุล และ สุพิชชา คงเสนี. "การพัฒนากระบวนการผลิตเม็ดเชือเพลิงยูเรเนียม ไดออกไซด์." โรงพิมพ์จุฬาลงกรณ์มหาวิทยาลัย, 2525.
2. บุญหมาย อินทุภูติ. "แร่ยูเรเนียม." เอกสารเศรษฐศาสตร์ฟิสิกส์. กรมทรัพยากรธรณี, 2520.
3. Cordfunke, E.H.P. The Chemistry of Uranium. Amsterdam: Addison-Wesley Publishing Co., 1969.
4. Runnalls, O.J.C. Uranium Dioxide Fuel Elements. New York: Reinhold Publishing Co., 1959.
5. Peterson Sigfred et al. Chemistry in Nuclear Technology. USA: Addison-Wesley Publishing Co, 1963.
6. ขยากrit ศิริอุปถัมภ์, ศิริวัฒนา ไทรสมบูรณ์ และสุพิชชา จันทร์ไวย์. Chemistry in Nuclear Technology. ภาควิชานิวเคลียร์ เทคโนโลยี คณะวิศวกรรมศาสตร์ จุฬาลงกรณ์มหาวิทยาลัย, 2526.
7. Sergeyev, G.Y. et al. The Influence of Fabrication Methods on the Structure and Properties of Uranium." USSR, P/2404.
8. Jamrack,W.D. "Rare Metal Extraction by Chemical Engineering Techniques." New York: The Macmillian Co, 1963.
9. Nelson, R.L.; Parkinson, N. and Kent, W.C.L. "U.K. Development Toward Remote Fabrication of Breeder Reactor Fuel." Nuclear Technology, 1981.

10. Forthmann et al. "Investigation on the Preparation of  $\text{UO}_2$  Microspheres by Internal Gelation of  $\text{UO}_2$  Sol and from a Uranium (VI) Solution." Symposium on Sol-Gel Processes and Reactor Fuel Cycles, Gatlinburg, Tennessee, 1970.
11. Brambilla, G.; Gerontopoulos; P. and Neri,D., "The SNAM Process for the Preparation of Ceramic Nuclear Fuel Microsphere." Energy Nucl (Milan) 17(1970): 217-224.
12. Facchini, A.G. "The SNAM Process for the Preparation of Ceramic Nuclear Fuel Microspheres : Continuous Production Technique." Energy Nucl (Milan) 17(1970): 225-233.
13. Beaty, R.L.; Norman, R.E.; and Notz, K.J. Gel-Sphere-Pac Fuel for Thermal Reactors-Assessment of Fabrication Technology and Irradiation Performance. Oak Ridge National Laboratory, Tennessee 37830, ORNL 5469, 1979.
14. Wymer, R.G. "A Progress Report on Sol-Gel Process Development at Oak Ridge National Laboratory." ORNL-TM-1118, 1965.
15. Facchini, A.G., "Ceramic Nuclear Fuel Microspheres by the Gel-Supported Precipitation Process." AGIP Nuclear Italy, 13(1970): 46-47.
16. Haas, P.A.; Kitts,F.G. and Beutler,H. "Preparation of Reactor Fuels by Sol-Gel Processes." Chemical Engineering Progress Symposium 63(80): 16-27, 1967.

17. Naefe Paul and Zimmer Erich. "Preparation of Uranium Kernels by an External Gelation Process." Nuclear Technology 42(1979): 163-171.
18. Engel, A.J.G. Sol-Gel Pilot Plant. Centrum Nederland, Nederland ECN-77-171, 1977.
19. Forthmann, R; Naoumidis, A and Nickel,H. "Untersuchungen Zur Herstellung Kugelformiger Brennstoffteilchen nach Einem Sol-Gel-Verfahren." Jul-583-RW, Marz, 1969.
20. Davies, W. and Gray, W. "A Rapid and Specific Volumetric Method for the Precise Determination of Uranium Using Ferrous Sulphate as Reductant," United Kingdom Atomic Energy Authority TRG Report 713 (D).
21. Wymer, R.G. "Preliminary Studies of the Preparation of  $\text{UO}_2$  Microspheres by a Sol-Gel Technique." Oak Ridge Laboratory, ORNL-TM-1110, 1965.
22. Warner, R.K. "Uranium Solution Chemistry." Australian J. Appl. Sci, 1953.
23. Suzuki, H.; Hase, T. and Iseki, T. "A New Aspect of Grain Growth of Sol-Gel Urania." J. Nucl. Sci. Technol. 11(1974): 146-152.
24. Suzuki, H. "Initial-Stage Sintering of Sol-Gel Urania." J. Nucl. Sci Technol. 11(1974): 208-215.

25. Haas, P.A. "Preperation of Sol-Gel Spheres Smaller than 200 Microns without Fluidization." Nucl Technology 10(1971): 283-292.
26. Janov, J. et al. Pilot Plant Development of Process for the Production of Ammonium Diuranate. Australian Atomic Energy Commission, 1975.
27. Mc.Bride J.P. "Preliminary Studies of the Preparation of  $UO_2$  Microspheres by a Sol-Gel Technique." ORNL-TM-1110, 1965.
28. นิภาวรรณ ปราโมชิกุล. "การพัฒนาระบวนการโซล-เจล โดยวิธีอินเทอร์นอล เจ เลชัน เพื่อใช้ในการผลิตเม็ดเซื้อเพลิงยูเรเนียมไดออกไซด์ ในโครงสร้าง." วิทยานิพนธ์ปริญญามหาบัณฑิต ภาควิชานิวเคลียร์ เทคโนโลยี บัณฑิตวิทยาลัย จุฬาลงกรณ์มหาวิทยาลัย, 2529.
29. สุพิชชา ศรีเสนี. "การพัฒนาระบวนการโซล-เจล เพื่อผลิตเม็ดเซื้อเพลิงยูเรเนียมชนิดเซรามิก." วิทยานิพนธ์ปริญญามหาบัณฑิต ภาควิชานิวเคลียร์ เทคโนโลยี บัณฑิตวิทยาลัย จุฬาลงกรณ์มหาวิทยาลัย, 2525.

ภาคพนวก

## ภาคผนวก ก

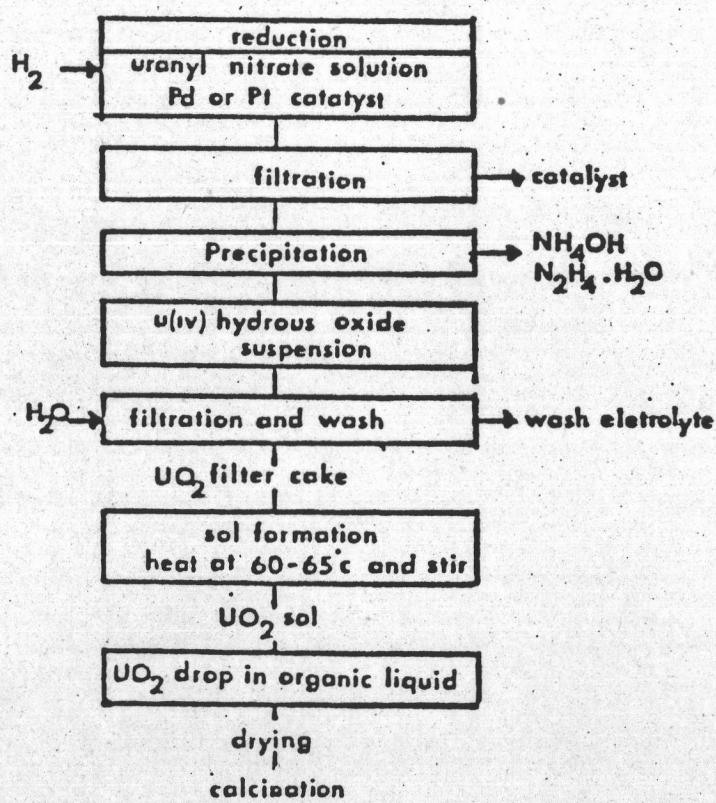
### กระบวนการโซล-เจล โดยวิธีอื่น ๆ มีดังนี้

#### 1. วอเตอร์ เอกซ์แทรคชัน เจเลชัน (Water Extraction Gelation)

กระบวนการโซล-เจลที่ทำด้วยวิธีนี้ หมายความว่าโซลจะถูกเปลี่ยนเป็นเจล และน้ำจะถูกดูดออกไปโดยสารละลายอินทรีย์ (organic solution) กระบวนการนี้ใช้ได้กับยูเรเนียมเข้มข้นตามธรรมชาติ (natural uranium) และยูเรเนียมที่เสริมสมรรถนะแล้ว

กระบวนการวอเตอร์ เอกซ์แทรคชัน เจเลชัน ใช้ได้โดยตรงกับเครื่องปฏิกรณ์ที่มีความต้องการเชือเพลิงที่มีขนาดเส้นผ่าศูนย์กลางไม่เกิน 600 ในคริมเมตร ขั้นตอนดัง ๆ ของกระบวนการมีดังนี้

- การเตรียมโซล
- การเกิดเจล และเจเลชัน
- การทำให้แห้ง
- การเผาที่อุณหภูมิสูง



รูป 1-ก. แผนผังการเตรียมยูเรเนียมไดออกไซด์ ไนโตรสเทียร์ (13)

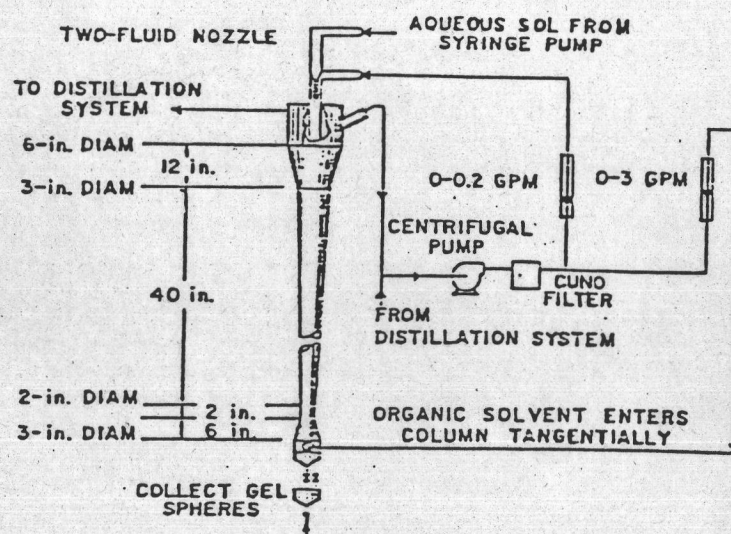
โดยกระบวนการตรวจสอบ เอกซ์เพรคชัน เจเลชัน

### 1.1 การเตรียมโซล

ขั้นแรกต้องรีดิวช์ ยูเรนิล ในเตρท ให้เป็นยูเรนัส ในเตρท (uranous nitrate) โดยใช้ก๊าซไฮโดรเจน และสารละลายน้ำมันเนยตกลงกอนยูเรนัส ไฮดรอกไซด์ (uranous hydroxide) ล้างตะกรอนเพื่อกำจัดแอมโมเนียม ในเตρท ด้วยกรดในตระกูลและใช้ความร้อนที่อุณหภูมิระหว่าง 60 - 65 องศาเซลเซียส ภายใต้บรรยากาศของก๊าซออกซิเจนเป็นเวลา 1 ชั่วโมง โดยมีการวนอยู่ตลอดเวลา

### 1.2 การเก็บเจลและเจลชัน

การทำโซลให้เป็นหยดในสารละลายนินทรี โดยสารอินทรีที่ใช้คือ 2-ethyl-1-hexanol (2EH) ซึ่งเป็นตัวสกัดน้ำออกจากหยดโซล จนกระทั่งได้เจลสเพียร์ที่เป็นของแข็ง และมีการควบคุมเพื่อให้เกิดหยดอย่างสม่ำเสมอโดยใช้ ทูฟลูอิด นาฬิกา ซึ่งแสดงดังรูป



รูป 2-ก แสดงเครื่องมือโดยใช้ทูฟลูอิด นาฬิกา (21)

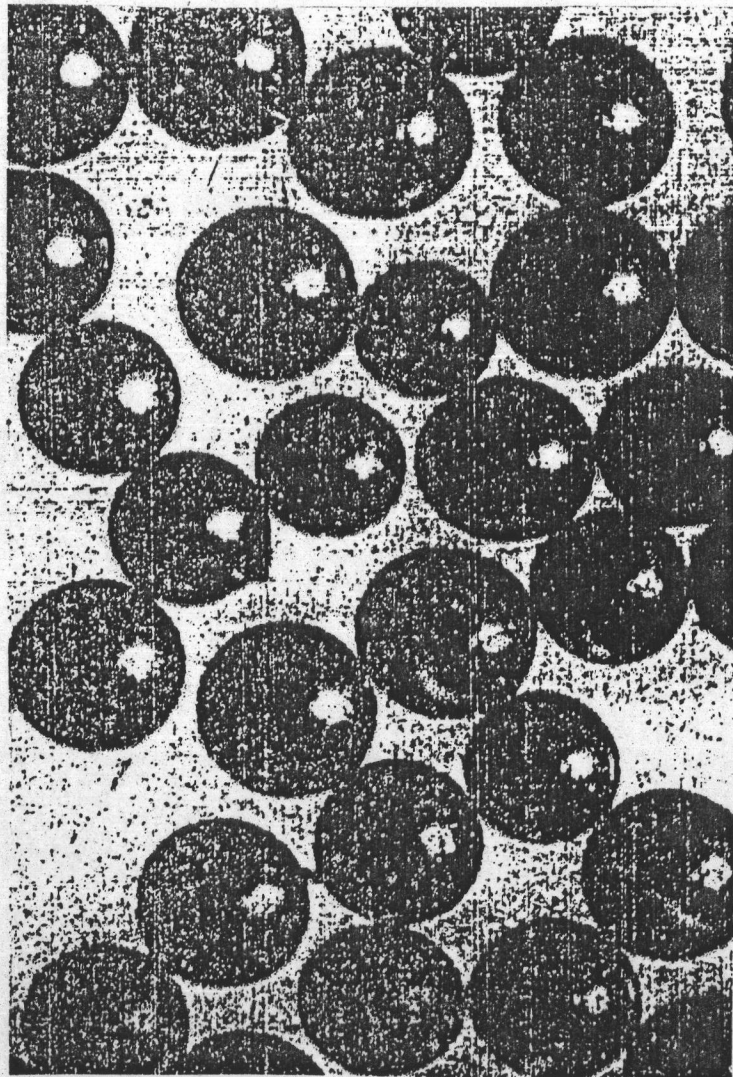
การทำเจลสเพียร์อาจจะใช้สารอินทรีย์ด้านใน เช่น octanol-2 methylepentanol Isoamylalcohol แต่สำหรับ 2EH พบว่าการละลายของน้ำจะเป็นเนื้อเดียวกันดีกว่าและก่อซอลชันิดอีก

### 1.3 การทำให้แห้ง

การทำไม้ไครสเพียร์ให้แห้งเป็นการก้าวจัด 2EH ออกจากเจลสเพียร์ โดยใช้อุณหภูมิ 150 องศาเซลเซียส ในบรรยายกาศของกําชาร์กอนเป็นเวลา 18 - 24 ชั่วโมง ซึ่งสารที่ระเหยได้ส่วนใหญ่จะถูกไล่ออกในช่วงอุณหภูมิ 100 - 200 องศาเซลเซียส และมีการสูญเสียน้ำมากที่สุดที่อุณหภูมิ 165 องศาเซลเซียส สเพียร์ที่ได้จะเหลือปริมาณคาร์บอนอัมบอร์อยู่ละ 5 โดยน้ำหนัก

### 1.4 การเผาที่อุณหภูมิสูง

หลังจากการทำให้แห้งแล้วจะเผาที่อุณหภูมิประมาณ 500 องศาเซลเซียส เพื่อกำจัดแลกลกอซอลออกไป หลังจากนั้นค่อย ๆ ให้ความร้อนทีละน้อย จนถึง อุณหภูมิ 1150 องศาเซลเซียส และเมื่อเผาจนกระทึบถึงอุณหภูมิ 1550 องศาเซลเซียส จะทำให้สเพียร์มีความทนทานแน่นเพิ่มขึ้น



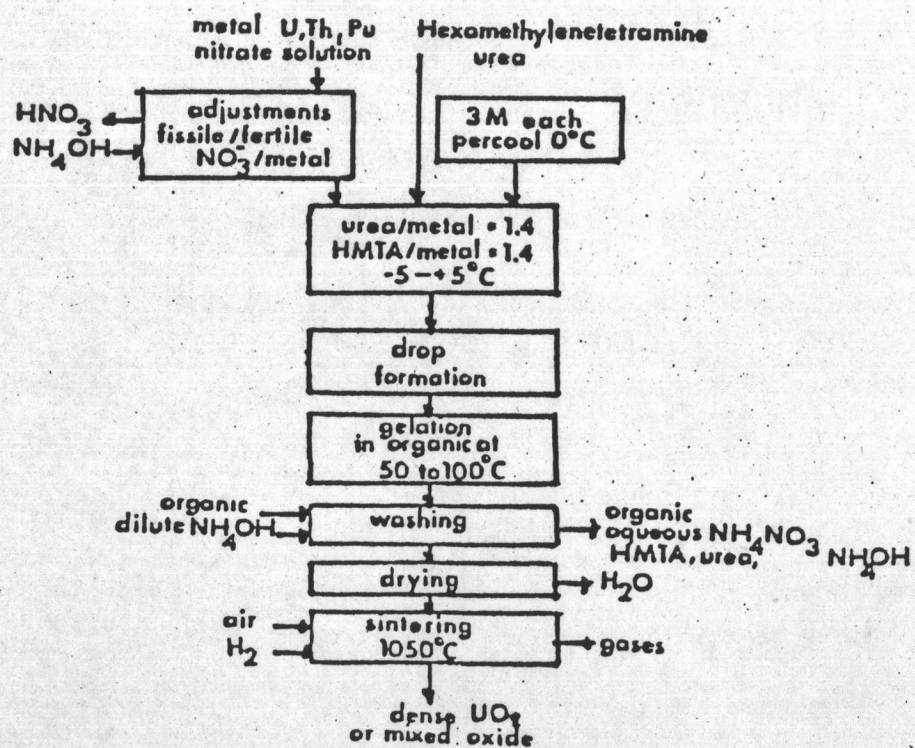
รูป ๓-ก  $\text{UO}_2$  ในโครงสร้าง เดอร์ ไอยวิชัว เดอร์ เอกซ์เพรสชัน เจเลชัน (14)

ขนาดเส้นผ่าศูนย์กลาง 150 มม

## 2. อินเทอร์นัล เจเลชัน (Internal Gelation)

กระบวนการโซล-เจลโดยวิธีอินเทอร์นัล เจเลชัน ได้มีการศึกษาค้นคว้าและพัฒนาขึ้นตอนต่าง ๆ เพื่อให้ได้วิธีการที่ดีในการผลิต เม็ด เชือเพลิง และสารเคมีที่ใช้ลักษณะน้ำได้ การทดลองของ ของโลหะหนัง เป็นส่วนหนึ่งของการวิเคราะห์ความร้อนท่าให้แอนโนมีเนียระเหยออกมา ซึ่งขึ้นตอนในการผลิตมีความคล้ายคลึงกันดังนี้

- การเตรียมโซล
- การเกิดสเปียร์
- การล้าง
- การทำให้แห้ง
- การเผาที่อุณหภูมิสูง



รูป 4-ก แผนผังการเดินทางเรนีย์ ไดออกไซด์ ในโกรสเพียร์ (13)  
โดยกระบวนการอินเทอร์นัล เจเลชัน



## 2.1 การเตรียมโซล

ใช้สารละลายแอลิด - เดฟพิเซียน (acid deficient) ของโลหะหนักที่มีความเข้มข้นประมาณ 3 มิลลาร์ยูเรียและเชกซ์ เมทิลีนเททระมีน (Hexamethylene Tetramine, HMTA) โดยควบคุมอุณหภูมิของสารละลายให้เท่ากับ 0 องศาเซลเซียส อาจอยู่ในช่วง -5 ถึง +5 องศาเซลเซียส เพื่อลดการแตกตัวของสเปียร์

## 2.2 การเก็บสเปียร์

นำโซลที่ได้ไปหยดผ่านดิสเพอร์ชัน ดีไวซ์ (dispersion device) เพื่อให้เป็นสเปียร์ในสารละลายอินทรีย์ และสารอินทรีย์ที่ใช้คือ ไตรคลอโรเอทธิลีน (Trichloroethylene, TCE) โดยควบคุมอุณหภูมิประมาณ 60 องศาเซลเซียส เนื่องจาก TCE มีจุดเดือดที่ 87 องศาเซลเซียส

## 2.3 การล้าง

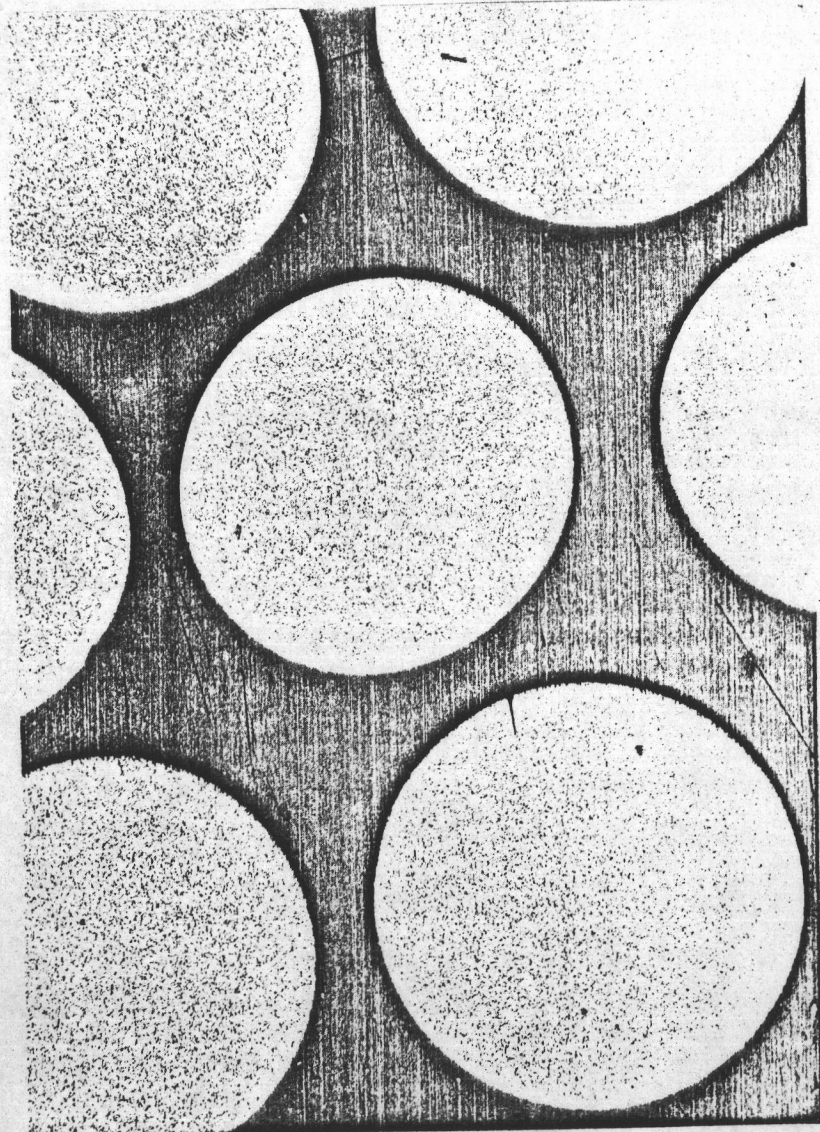
เป็นขั้นตอนสำคัญในการผลิตไมโครสเปียร์ ชึ้งถ้าล้างไม่ดีจะทำให้ไมโครสเปียร์แตกในระหว่างการทำให้แห้งและการเผา การล้างทำโดยใช้สารละลายแอมโนเนียมเจือจาง ( $\text{PH} = 8.5$ ) เพื่อกำจัดสารอินทรีย์ที่ยังติดอยู่ที่อุณหภูมิ 40 องศาเซลเซียส เวลาที่ใช้ในการล้าง 1 - 2 ชั่วโมง หรืออาจจะใช้คาร์บอนเททระคลอไรด์ ( $\text{CCl}_4$ ) กันแอนโอมเนียมไซดรอกไซด์ โดยควบคุมให้  $\text{PH}$  สูงกว่าหรือเท่ากับ 8.5

## 2.4 การทำให้แห้ง

นำสเปียร์ที่ล้างแล้วไปทำให้แห้งที่อุณหภูมิ 170 องศาเซลเซียส โดยวิธีทึ่งไว้ค้างคืนในเตาอบ หรือบนอากาศที่อุณหภูมิเท่ากับอุณหภูมิห้องให้เหลาเข้าทางด้านล่างเป็นเวลา 1 คืน

## 2.5 การเผาที่อุณหภูมิสูง

นำสเปียร์ไปเผาที่อุณหภูมิ 500 องศาเซลเซียส ในบรรยากาศของไฮโดรเจนและออกซิเจน เมื่อเพิ่มอุณหภูมิจนกระทึ่งถึง 1500 องศาเซลเซียสในบรรยากาศของไฮโดรเจนและออกซิเจนเช่นเดียวกัน โดยอัตราการเพิ่มความร้อน เป็น 200 - 300 องศาเซลเซียส ผลิตภัณฑ์ที่ได้จะมีลักษณะกลมผิวเรียบ และมีความหนาแน่นเท่ากับ 99 เปอร์เซ็นต์ของค่าตามทฤษฎี มีการนับน้ำหนักอยู่กว่า 10 ส่วน ในล้านส่วน (ppm)



รูป 5-ก  $\text{UO}_2$  ในโครงสร้าง เดียวกันกับรูป 5-ก  
ขนาดเส้นผ่าศูนย์กลาง 1250 มม (50x)

ภาคผนวก ข

การประยุกต์ในการทำหยดไฮลิตา姆 Gel-Sphere-Pac

ปริมาณออกไซด์โลหะในสเปียร์ที่เป็นผลิตภัณฑ์หาได้จากขนาดของหยดไฮลิตา้มเกิดเจлезัน และต้องสามารถควบคุมขนาดเส้นผ่าศูนย์กลางของหยดได้ เพื่อผลิตสเปียร์ได้ตามต้องการ การทำเป็นหยดเริ่มจากสารตั้งต้นไอลฟ่านท่อรูดีบ ในการผลิตสเปียร์โดยที่ว่าไปจะอยู่ในช่วง 0.1 ถึง 10 กิโลกรัมต่อชั่วโมง มีความหนาแน่น 10 กรัมต่อลูกบาศก์เซนติเมตร ดังตาราง 1 - ข

ตาราง 1-ข แสดงอัตราของการเกิดหยด (13)

Sintered Sphere Diameter ( $\mu\text{m}$ )	Sphere Mass ( $\mu\text{g}$ )	Drop formation rate, drops/s	
		For 0.1 kg/h product	For 10 kg/h product
900	3820	7.3	730
300	141	196	$19.6 \times 10^3$
100	5.24	5300	$530 \times 10^3$
33	0.194	$1.4 \times 10^5$	$14 \times 10^6$

ความสามารถในการละลายนอกยูเรนิล ในเครื่อง

ตาราง 2-๙ Solubility of Uranyl Nitrate Hexahydrate in  
Selected Solvents (22)

Solvent	Solubility gm solute/gm solution at 20°C
Methanol	0.675
Acetone	0.617
Tri - n - butyl phosphate	0.542 (25 °C)
Water	0.540
Diethyl ether	0.491
n - butyl alcohol	0.462
Methyl isobutyl ketone	0.428
Nitromethane	0.140
Dibenzyl ether	0.017

ตาราง 3-ช คุณสมบัติของยูเรเนียมในการทำให้แห้งที่อุณหภูมิ 85 °C (12)

PHYSICO-CHEMICAL PROPERTIES OF URANIUM BEARING DRIED  
MICROSPHERES (\*) (drying temp. 85 °C)

Density (g/cm³, Hg measured)	1.5
Weight loss at 900 °C (% by weight)	13.45 ± 0.3
Uranium (% by weight)	72.10 ± 1.0
Carbon (% by weight)	1.96 ± 0.25
Hydrogen (% by weight)	1.57 ± 0.08
Nitrogen (total) (% by weight)	1.95 ± 0.08
Nitrogen (NH <sub>3</sub> +) (% by weight)	1.89 ± 0.03
N/U ratio	0.445 ± 0.01

(\*) Particle average diameter (~ 95%) = 1300 μm ± 3%.  
The analysis refers to the 110 °C pretreated material.

ตาราง 4-ช คุณสมบัติของยูเรเนียมระหัวงเเพาท์อุณหภูมิ 450 และ 550 องศาเซลเซียส (12)

PHYSICO-CHEMICAL PROPERTIES OF URANIUM BEARING CALCINED  
MICROSPHERES (\*)

Physico-chemical properties	Calcining temperature	
	450 °C	550 °C
Density (g/cm³, Hg measured)	1.65	1.93
Weight loss at 900 °C (% by weight)	4.60 ± 0.2	2.93 ± 0.2
Uranium (% by weight)	79.93 ± 0.63	80.90 ± 0.5
Carbon (% by weight)	≤ 0.05	≤ 0.05
Hydrogen (% by weight)	0.41 ± 0.05	0.11 ± 0.02
Nitrogen (% by weight)	≤ 0.05	≤ 0.05

(\*) Particle average diameter (~ 95%) = 1230 μm ± 3%. The analysis refers to a 110 °C pretreated material.

ตาราง 5-ข คุณสมบัติของ  $\text{UO}_2$  ในโครงสร้างที่มีความหนาแน่นสูง (12)

PHYSICO-CHEMICAL PROPERTIES OF  $\text{UO}_2$  HIGH DENSITY MICROSPHERES (\*)

Average ( $\sim 95\%$ ) diameter ( $\mu\text{m}$ )	$745 \pm 3\%$
Density ( $\text{g/cm}^3$ , Hg measured)	$10.80 \pm 0.1$ (98.5% T.D. $\pm 1\%$ ) (**)
Crushing strength (kg)	$4.2 \pm 0.3$
O/U ratio	$\leq 2.005$

(\*) Same samples as reported in tables 1 and 2 (calcined at 450 °C).

(\*\*) These values refer to mean values of batches of 160 g each.

ตาราง 6-ข คุณสมบัติของ  $\text{UO}_2$  ในโครงสร้างที่มีความหนาแน่นต่ำ (12)

PHYSICO-CHEMICAL PROPERTIES OF  $\text{UO}_2$  LOW DENSITY ( $\sim 80\%$  T.D.)  
MICROSPHERES (\*)

Physico-chemical properties	First thermal cycle	Second thermal cycle
Average diameter ( $\sim 95\%$ , $\mu\text{m}$ )	$790 \pm 3\%$	$770 \pm 3\%$
Density ( $\text{g/cm}^3$ , Hg measured)	$6.00 \pm 0.2$	$8.95 \pm 0.1$ ( $81.6\% \pm 1.5\%$ ) (**)
Crushing strength (kg)	$4.25 \pm 0.3$	$4.1 \pm 0.2$
O/U ratio	$2.64 \pm 0.02$	$\leq 2.005$

(\*) Same samples as reported in tables 1 and 2 (calcined at 550 °C).

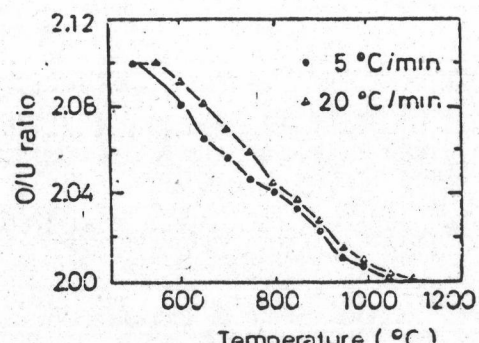
(\*\*) These values refer to mean values of batches of 300 g each.

ตาราง 7-ข ความสัมพันธ์ระหว่างอุณหภูมิกับความหนาแน่น (23)

Relative density of specimen

Specimen No.	Temperature (°C)	Relative density (%)
0	As-pressed	43
1	750	48
2	850	57
3	950	67
4	1,000	70
5	1,080	75
6	1,150	79
7	1,250	83
8	1,350	87

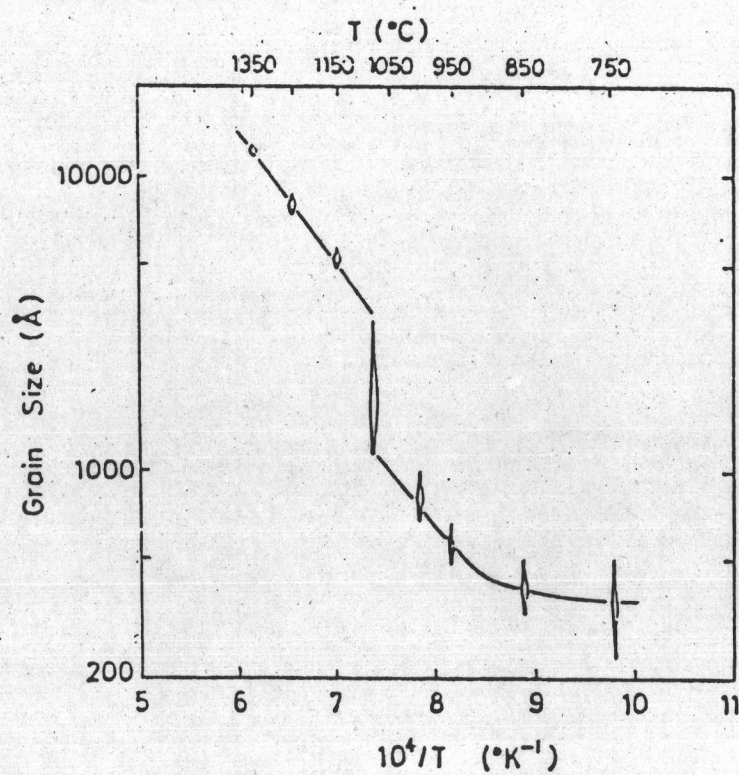
การเปลี่ยนแปลงของ O/U ratio ระหว่างการเผาประสาน (24)



Change of O/U ratio during  
sintering of sol-gel urania

รูป 1-2 การเปลี่ยนแปลงของ O/U ratio ระหว่างการเผาที่อุณหภูมิสูง

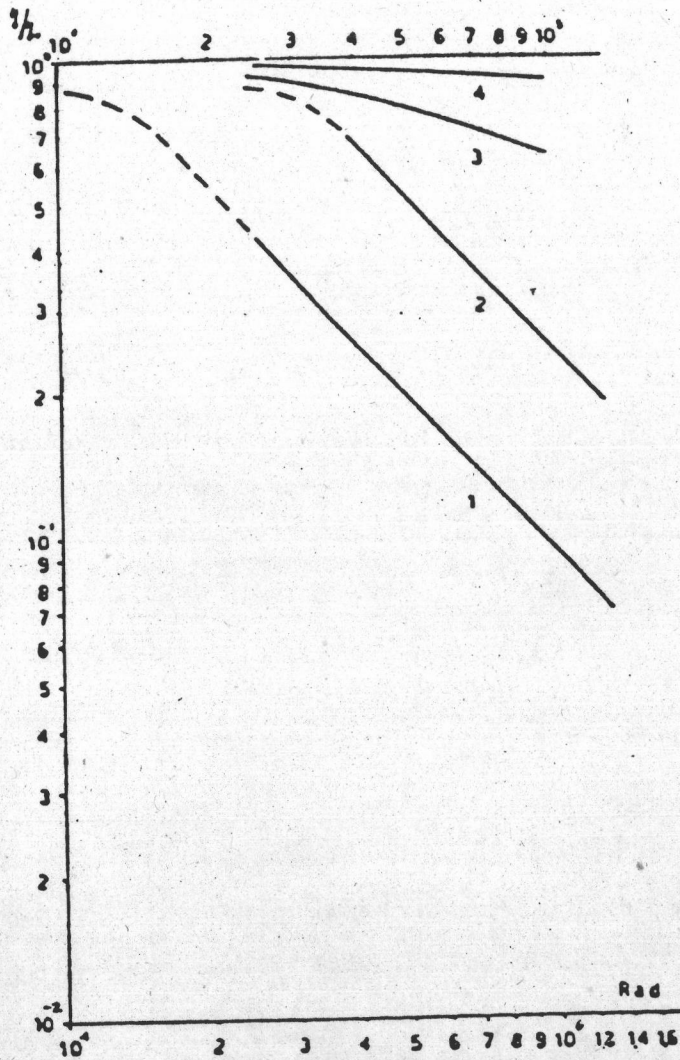
การเปลี่ยนแปลงขนาดของเกรน (Grain size) (23)



Change of grain size of specimen  
heated at 5 °C/min

รูป 2-2 การเปลี่ยนแปลงของ Grain size

พฤติกรรมของ Method 90 HG (12)

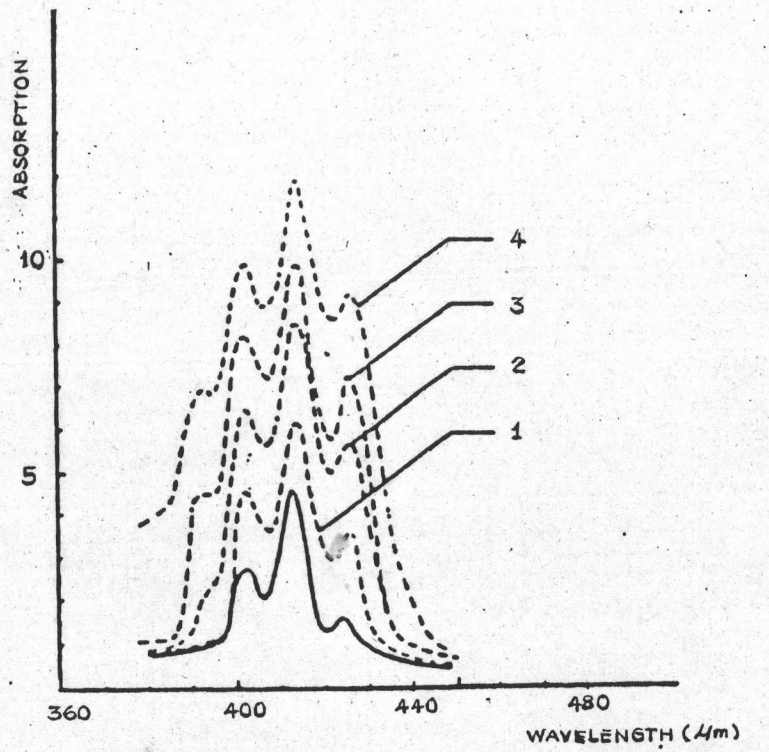


Methocel 90 HG  $\beta$ - $\gamma$  radiation induced degradation

1. Methocel water solution at 8 g/l; 2. Methocel water solution at 8 g/l; 0.5 M free nitric acid, 180 g  $\text{MeO}_2/\text{l}$  (95.8% U; 4.2% Th), as uranyl and thorium nitrates; 3. like for 2), with the addition of 1% by volume of tetrahydroturfuryl alcohol; 4. like for 2), with the addition of 10% by volume of tetrahydroturfuryl alcohol.

รูป 3-๙ พฤติกรรมของ Methocel 90 HG

ความสัมพันธ์ระหว่าง 4-HF กับการดูดกลืนสเปกตรัมของ  $\text{UO}_2(\text{NO}_3)_2$  (12)



Influence of tetrahydrofurfuryl alcohol on the absorption spectra of  $\text{UO}_2(\text{NO}_3)_2$ .

—  $\text{UO}_2(\text{NO}_3)_2$ , 0.185 M -  $\text{HNO}_3$ , 0.44 M

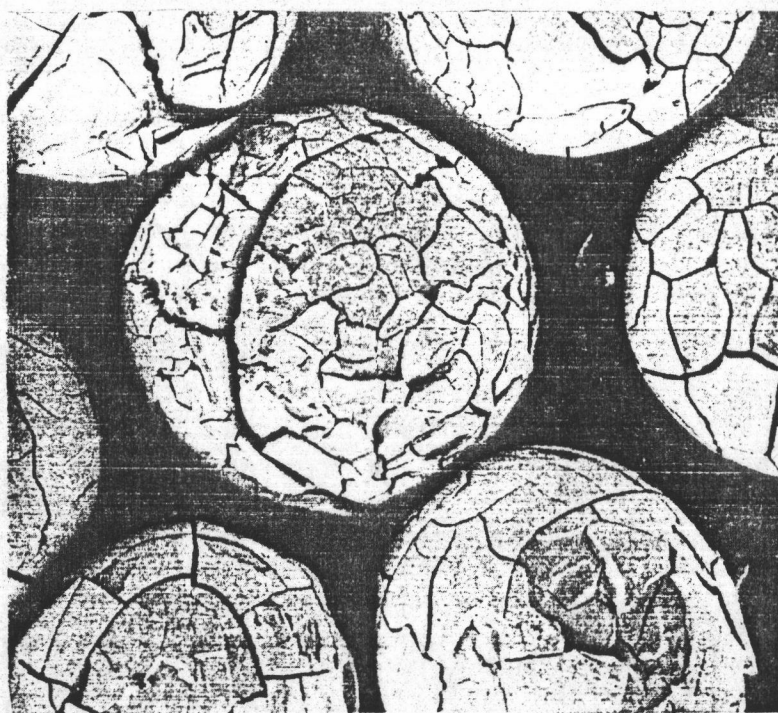
1 - - -  $\text{UO}_2(\text{NO}_3)_2$ , 0.185 M -  $\text{HNO}_3$ , 0.44 M - 4-HF 35% -  
Methocel 0.7%

2 - - -  $\text{UO}_2(\text{NO}_3)_2$ , 0.185 M -  $\text{HNO}_3$ , 0.44 M - 4-HF 35% -  
Methocel 0.7% (aged 3 days)

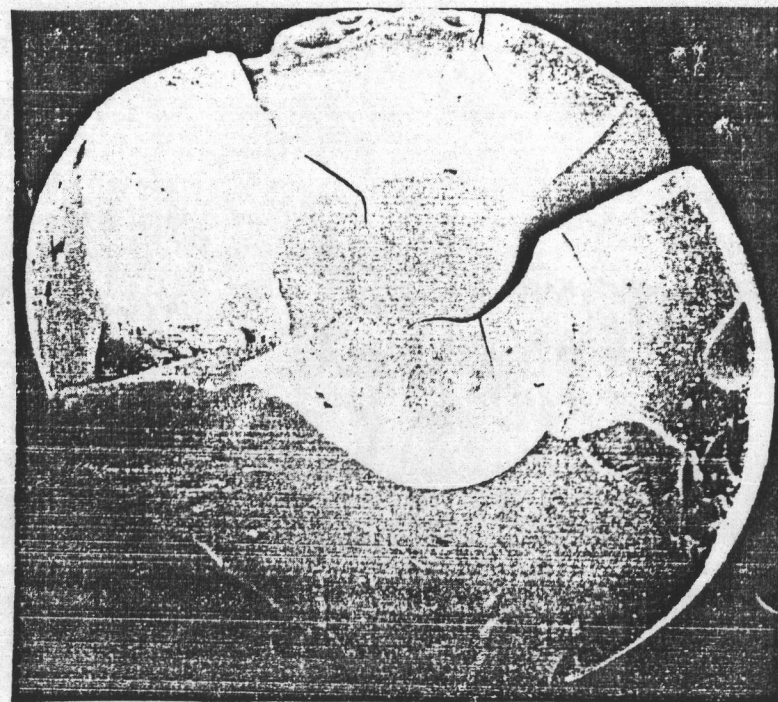
3 - - -  $\text{UO}_2(\text{NO}_3)_2$ , 0.185 M -  $\text{HNO}_3$ , 0.44 M - 4-HF 35% -  
Methocel 0.7% (aged 7 days)

4 - - -  $\text{UO}_2(\text{NO}_3)_2$ , 0.185 M -  $\text{HNO}_3$ , 0.44 M - 4-HF 35% -  
Methocel 0.7% (aged 13 days)

รูป 4-๙ ความสัมพันธ์ระหว่าง 4-HF กับ ยูเรนิล ในเครท



(a)

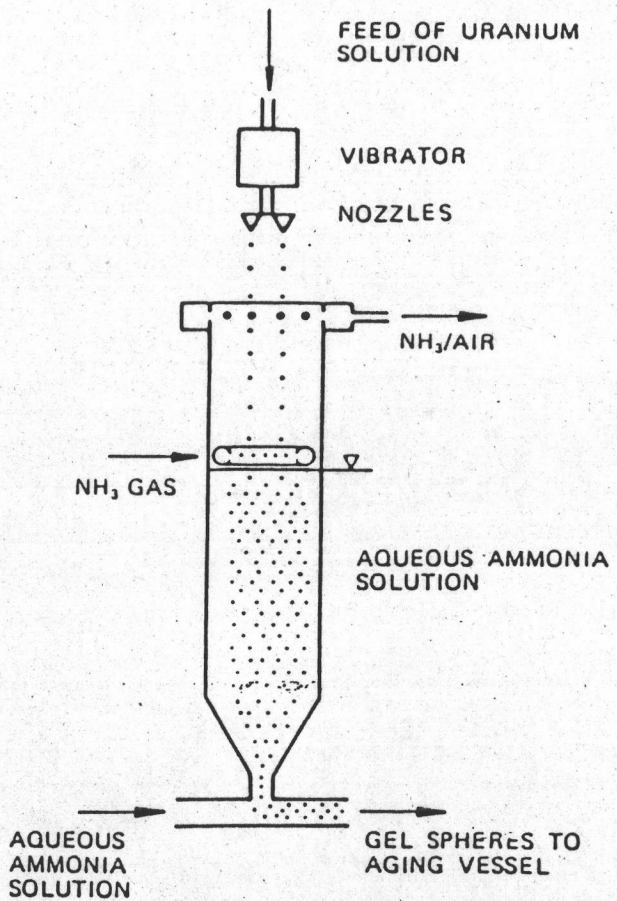


(b)

รูป ๕-๙  $\text{UO}_2$  ในโครงสร้างที่แตกกระห่ำงการเผาที่อุณหภูมิสูง (19)

a) 24x      b) 48x

## ภาคผนวก ค

1. เครื่องมือทำให้เกิดหยดแบบ vertical jetting (17)

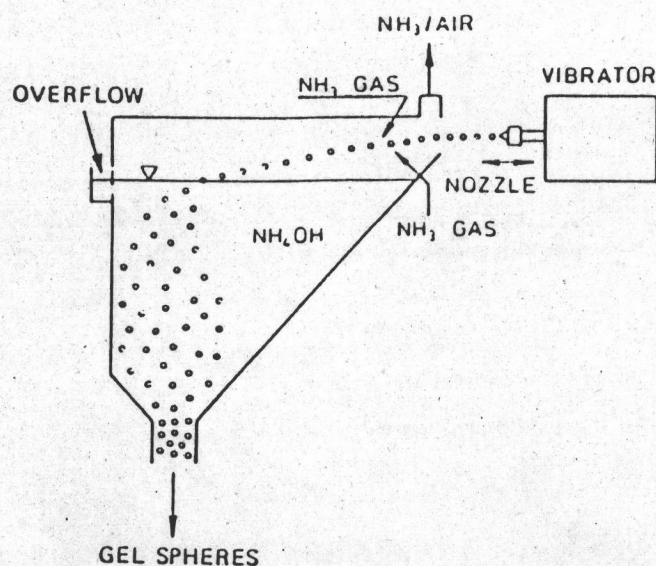
Precipitation device with vertical jetting.

รูป 1-ค การเกิดในโครงสร้างโดยใช้เครื่องมือแบบ vertical jetting

ส่วนของคอลัมน์จะแบ่งเป็น 2 ตอน คือ ชั้นของก๊าซแอมโมเนีย และชั้นของสารละลายน้ำแอมโมเนีย การหยดจะผ่านอากาศก่อนจะผ่านชั้นของก๊าซแอมโนเนีย ความยาวของชั้นก๊าซแอมโนเนียอยู่ระหว่าง 15-20 เซนติเมตร หยดโซลจะมีเส้นผ่าศูนย์กลาง 0.7 มิลลิเมตร และมีความเร็วของหยด 11.5 เมตรต่อวินาที

## 2. เครื่องมือท่าให้เกิดหยดแม่น horizontal jetting (17)

ปัญหาของสเปียร์ที่เกิดขึ้นกับเครื่องมือแบบ vertical jetting หลัก เลี้ยงโดยใช้เครื่องมือแบบ horizontal jetting ดังนี้ ระยะจากนอชัลถึงสารละลาย แอนโอมิเนียประมาณ 20 มิลลิเมตร และระยะที่หยดเคลื่อนที่ก่อนที่จะตกถึงผิวของสารละลาย แอนโอมิเนีย เป็น 11 เซนติเมตร เวลาที่หยดโซลูชันส์กับก๊าซแอนโอมิเนีย เป็น 0.07 วินาที ที่ความเร็ว 1.6 เมตรต่อวินาที ใช้มุนในการหยดประมาณ 15 อั่งศา



Precipitation device with horizontal jetting.

รูป 2-ค การเกิดในโครงสร้างโดยใช้เครื่องมือแบบ horizontal jetting

ประวัติผู้เขียน

นายสุพจน์ ภูชานา ได้รับปริญญาวิทยาศาสตร์บัณฑิต สาขาพิสิกส์ จากมหาวิทยาลัย  
รามคำแหง เมื่อปีการศึกษา 2525 และได้เข้าศึกษาต่อที่ภาควิชานิวเคลียร์เทคโนโลยี คณะ  
วิศวกรรมศาสตร์ จุฬาลงกรณ์มหาวิทยาลัย ในปี พ.ศ.2526 และได้เข้าทำงานที่สถาบันส่งเสริม  
การสอนวิทยาศาสตร์และเทคโนโลยี กระทรวงศึกษาธิการ เมื่อปี พ.ศ.2528

